

رتبه‌بندی روستاهای آسیب‌پذیر در برابر فرسایش بادی و حرکت ماسه‌های روان با استفاده از
Oreste و *Fuller triangle*

(مطالعه موردنی: روستاهای منطقه شهداد در غرب دشت لوت)

سعید نگهبان^۱ - استادیار بخش جغرافیا، دانشگاه شیراز، شیراز، ایران

مهری حسام - استادیار گروه جغرافیا و برنامه‌ریزی شهری، دانشگاه گیلان، رشت، ایران

تاریخ تصویب: ۱۳۹۴/۱۰/۲۷

چکیده

قسمت‌های مرکزی و جنوب شرقی کشور ایران به دلیل واقع شدن در منطقه خشک و نیمه‌خشک و همچنین وجود پهنه‌های وسیع ماسه‌ای، همواره تحت تأثیر مخاطرات ناشی از فرآیندهای ماسه‌ای قرار دارد. این فرآیندها همه‌ساله خساراتی را به سکونتگاه‌های انسانی این مناطق وارد می‌کنند. این پژوهش سعی دارد به بررسی و رتبه‌بندی میزان آسیب‌پذیری روستاهای واقع در حاشیه غربی دشت لوت، در برابر ماسه‌های روان پردازد. پژوهش از نوع توصیفی-تحلیلی مبتنی بر روش‌های میدانی، آماری و مدل‌سازی می‌باشد؛ بدین صورت که با سفر میدانی به منطقه مورد مطالعه به شناسایی بررسی روستاهای آسیب‌پذیر در برابر ماسه‌های روان پرداخته شد، در مرحله بعد تعداد ۸ پارامتر محیطی مؤثر بر مخاطرات ماسه‌های روان در منطقه مورد مطالعه شناسایی و با استفاده از منطقه فازی وزن دهی شدند و سپس با استفاده از مدل *Fuller triangle* سلسله مراتبی وزن دهی شده‌اند، در مرحله بعد با استفاده از مدل *Oreste* به رتبه‌بندی میزان تأثیرپذیری روستاهای را با توجه به پارامترهای انتخاب شده پرداخته شد. رتبه‌بندی میزان آسیب‌پذیری روستاهای منطقه مشخص گردید. نتایج نشان می‌دهد که حدود ۲۲ روستا در منطقه وجود دارند که خسارات بسیار شدید از ماسه‌های روان را متحمل می‌شوند و در این میان، روستای هاشم آباد بیشترین آسیب‌پذیری را دارد و رتبه یک را به خود اختصاص داده است و روستاهای زمان آباد و قاضی آباد در رتبه‌های بعدی آسیب‌پذیری قرار دارند و این روستاهای در بخش جنوب شرقی منطقه مورد مطالعه واقع شده‌اند.

کلیدواژه‌ها: دشت لوت، ماسه‌های روان، روستا، رتبه‌بندی.

۱. مقدمه

کشور ایران در طول زمان‌های مختلف تحت تأثیر بلایای طبیعی مختلفی قرار داشته و دارد به‌طوری که ایران جزو ۱۰ کشور بالاخیز دنیا می‌باشد و از ۳۵ بلای طبیعی تاکنون حدود ۳۰ بلا در ایران اتفاق افتاده است (نگارش و لطیفی، ۱۳۸۸: ۱). یکی از انواع بلایای طبیعی که هرساله سبب وارد آمدن خسارات زیادی به‌ویژه در مناطق خشک و بیابانی دنیا می‌شود، طوفان‌های ماسه‌ای است (امیدوار، ۱۳۸۵: ۴۴). باد در حدود ۲۸ درصد از خشکی‌های جهان را فرسایش می‌دهد (نیکولاوس^۱، ۲۰۰۶، ۱۸۰) و طوفان‌های ماسه‌ای و گردوخاک نه تنها در ایران، بلکه در سایر کشورهای آسیائی، آفریقائی و آمریکائی نیز موجب بروز خسارات مالی و جانی فراوانی می‌شود که از آن جمله می‌توان به طوفان سیاه شمال چین که سال ۱۹۹۳ باعث کشته شدن ۸۵ نفر و تخریب حدود ۳۷۳۰۰ هکتار از محصولات زراعی گردید (یولین^۲، ۲۰۰۲) و همچنین جابجایی سلانه دست کم ۱۶۱ میلیون تن خاک کانادا به ارزش ۲۴۹ میلیون دلار آمریکا (اسکویرز^۳، ۲۰۰۲) اشاره کرد.

کشور ایران در کمربند خشک و بیابانی دنیا قرار دارد و دو سوم از وسعت آن در قلمرو مناطق خشک واقع شده است (مقصودی، ۱۳۸۵: ۱۴۹). همچنین مطالعات انجام شده نشان می‌دهد که ۱۴ استان کشور تحت تأثیر فرسایش بادی قرار دارند که استان کرمان یکی از رتبه دارترین استان‌ها در این زمینه می‌باشد و ماسه‌های روان هرساله خسارات زیادی را متحمل می‌شود.

مسائل مربوط به چگونگی شکل‌گیری و تکامل عوارض ماسه‌ای در مناطق بیابانی توجه بسیاری از دانشمندان داخلی و خارجی را به خود معطوف کرده است (لیو^۴، ۱۹۶۰؛ ژو^۵، ۱۹۸۰، بگنولد^۶، ۱۹۴۱؛ لی^۷، ۱۹۹۲؛ لینگ^۸، ۱۹۹۰). طیف گسترده‌ای از اشکال عوارض ماسه‌ای که در مناطق بیابانی یافت می‌شوند، توسط ژئومورفولوژیست‌ها در طبقات متعددی تقسیم‌بندی شده‌اند. نوع این اشکال در هر منطقه‌ای به مقدار شن و ماسه و جهت غالب باد در طول سال وابسته می‌باشد (بگنولد^۹، لانکاستر^{۱۰}، ۱۹۹۵؛ پی و تسوار^{۱۱}، ۱۹۹۰؛ بروکفیلد و اهلباراند^{۱۲}، ۱۹۸۳؛ نیکلینگ^۱، ۱۹۸۶؛ لیوینگستون و همکاران^۲، ۲۰۰۷؛ دانگ و همکاران^۳، همکاران^۳، ۲۰۰۸).

۱ Nicholas

۲ Youlin

۳ Squires

۴ Liu

۵ Zhu

۶ Bagnold

۷ Li

۸ Ling

۹ Bagnold

۱۰ Lancaster

۱۱ Pye and Tsoar

۱۲ Brookfield and Ahlbrandt,

ماسه‌های روان تاثیرات بسیار زیادی بر روی سکونتگاه‌ها و تأسیسات انسانی می‌گذارند که یکی از تأثیرپذیرترین بخش‌ها، حمل و نقل است. راه‌های ارتباطی که نقش زیادی در برقراری ارتباط بین روستاهای مجاور، حمل و نقل بار و مسافر دارند، گاهی به وسیله شن‌ها و ماسه‌های روان بسته می‌شوند، که یا ترد را با اشکال مواجه می‌سازند و یا بعضاً موجب اشتباه در تشخیص راننده می‌گرددن (فلاح تبار، ۱۳۷۹). در مناطقی که در مسیر دلان‌های بادی قرار دارند، حرکت و تجمع ماسه‌های روان در جاده‌ها سبب انسداد مسیر می‌گردد و می‌بایست سریعاً به پاکسازی ماسه‌ها اقدام شود که خود هزینه‌های زیادی در بردارد. برخورد شدید ذرات ماسه و شن با سطح آسفالت جاده‌ها، تابلوها و علائم رانندگی، و تیرهای برق سبب تخرب آن‌ها شده و خسارات زیادی را به دنبال خواهد داشت. همچنین برخورد ذرات ماسه با وسایل نقلیه (که بیشتر از جنس کوارتز هستند) باعث از بین رفتن رنگ و همچنین مخدوش شدن شیشه ماشین‌ها می‌شود (نگارش و لطیفی، ۱۳۸۸). علاوه بر این، سالانه حجم زیادی از ماسه‌های بادی وارد کانال‌های آبیاری می‌شود، که نیاز به لایروبی دارد. در برخی از مناطق، میزان تجمع ماسه‌های بادی به گونه‌ای است که سبب انسداد کانال‌ها شده و خساراتی را به بار می‌آورد. گاهی تجمع ماسه‌های بادی در مسیر کانال‌ها سبب انحراف آب از مسیر اصلی و همچنین کاهش سرعت حرکت آب در کانال‌ها می‌گردد (زمردیان و پور کرمانی، ۱۳۶۶: ۱۵۶).

با توجه به واقع شدن دو سوم مساحت سرزمین ایران در مناطق خشک و نیمه‌خشک و فعال بودن سیستم شکل زایی بادی در این مناطق و با توجه به اینکه باد و لندرم‌های حاصل از آن به صورت یک محدودیت جدی در توسعه جوامع انسانی این‌گونه مناطق مطرح می‌شوند شناسایی چگونگی شکل‌گیری و تحول این لندرم‌ها امری اجتناب‌ناپذیر می‌باشد. همه‌ساله جابجایی ماسه‌ها باعث خطراتی چون از بین رفتن زمین‌های کشاورزی، شیوع بیماری‌ها، صدمه به تأسیسات راه و ساختمان، تخرب تأسیسات و تجهیزات زیربنایی و آسیب‌های زیست‌محیطی در شهرها و روستاهای می‌گردد (مقصودی و همکاران، ۱۳۹۱: ۸۵) که در این پژوهش به رتبه‌بندی روستاهای آسیب‌پذیر حاشیه غربی دشت لوت در برابر ماسه‌های روان پرداخته شده است.

۲. منطقه مورد مطالعه

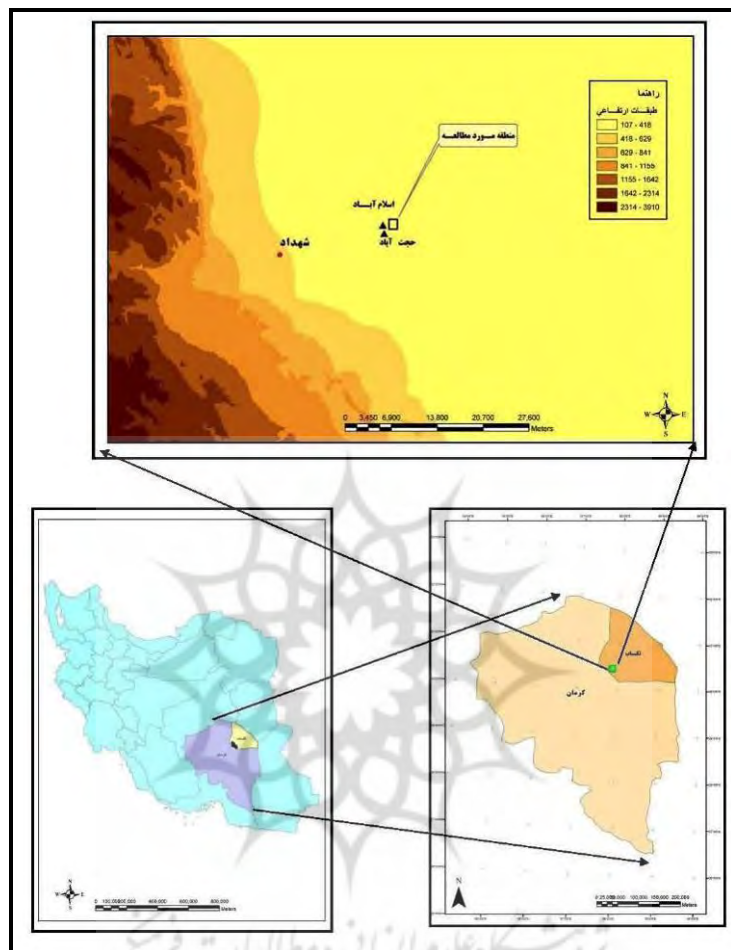
منطقه مورد مطالعه در قسمت شرق استان کرمان و در غرب دشت لوت در طول جغرافیایی $۱۵^{\circ} ۵۲'$ تا $۱۵^{\circ} ۵۷'$ و عرض $۳۲^{\circ} ۲۷' ۰۰$ تا $۳۲^{\circ} ۲۸'$ شمالی با ارتفاع متوسط ۲۹۸ متر از سطح دریا واقع شده است. این منطقه در بخش تکاب شهرستان کرمان در ۱۵ کیلومتری شرق شهر شهداد و در مجاورت روستاهای

1 Nickling

2 Livingstone and et al

3 Dong and et al

حجت‌آباد و اسلام‌آباد قرار دارد. در قسمت شرقی محدوده مطالعه، کلوت‌های دشت لوت به صورت کلوتک‌هایی کوچک شروع می‌شوند (شکل شماره ۳).



شکل ۳ موقعیت منطقه مورد مطالعه

منطقه مورد مطالعه (دشت تکاب در شرق شهرداد) در ناحیه گرم و خشک کشور ایران در مجاورت بیابان لوت که یکی از گرمترین بیابان‌های دنیاست واقع شده است، متوسط بارش سالانه در ایستگاه شهرداد ۳۵ میلی‌متر است که بیشتر بارش‌ها در فصل زمستان می‌بارد و در حدود ۸ الی ۹ ماه از سال بدون بارش بوده و یا بارش بسیار محدودی دارد. حداقل میانگین دمای ماهانه در شهرداد حدود ۴۰ درجه سانتی‌گراد است که در تیرماه می‌باشد، میانگین حداقل‌های دمای در منطقه حدود ۴۶ درجه سانتی‌گراد و میانگین حداقل‌ها این منطقه ۳۴ درجه سانتی‌گراد است. سردترین ماه منطقه دی‌ماه بوده که میانگین ماهانه آن ۱۱ درجه سانتی‌گراد است.

از لحاظ ژئومورفولوژی، منطقه مورد مطالعه در پایکوه‌های حاشیه غربی دشت لوت واقع شده است. در این منطقه شکل و گسترش پایکوه‌ها در همه‌جا به یک شکل و یک اندازه نیست، گاهی پایکوه‌ها به صورت دشت آبرفتی

و با اختلاف ارتفاع کم به طور مستقیم تا پای ارتفاعات کناری لوت کشیده شده‌اند، و در مناطقی دیگر نیز پایکوه شامل ناهمواری‌های چین خورده کم ارتفاعی است که در حدفاصل دشت و کوه‌های حاشیه‌ای قرار دارند. منطقه‌ای که اطلاعات مربوط به پیکان‌های ماسه‌ای از آن برداشت گردیده است، در این پهنه جای گرفته است. مخروط‌افکنه‌های آبرفتی، عوارض فرآیند بادی مانند نیکها، پیکان‌های ماسه‌ای، برهان‌ها، دشت‌سرها و همچنین پادگانه‌های آبرفتی از عوارض قابل توجه در این منطقه هستند. سازندۀای زمین‌شناسی منطقه مورد مطالعه شامل لایه‌های کنگلومرائی، ماسه‌ای، سیلتی و لیمونی و گاهی رسی می‌باشد که امتداد آن به سمت چاله لوت، به رسوب‌های نرم لیمونی، تبخیری و تخریبی چین خورده متنه می‌شود.

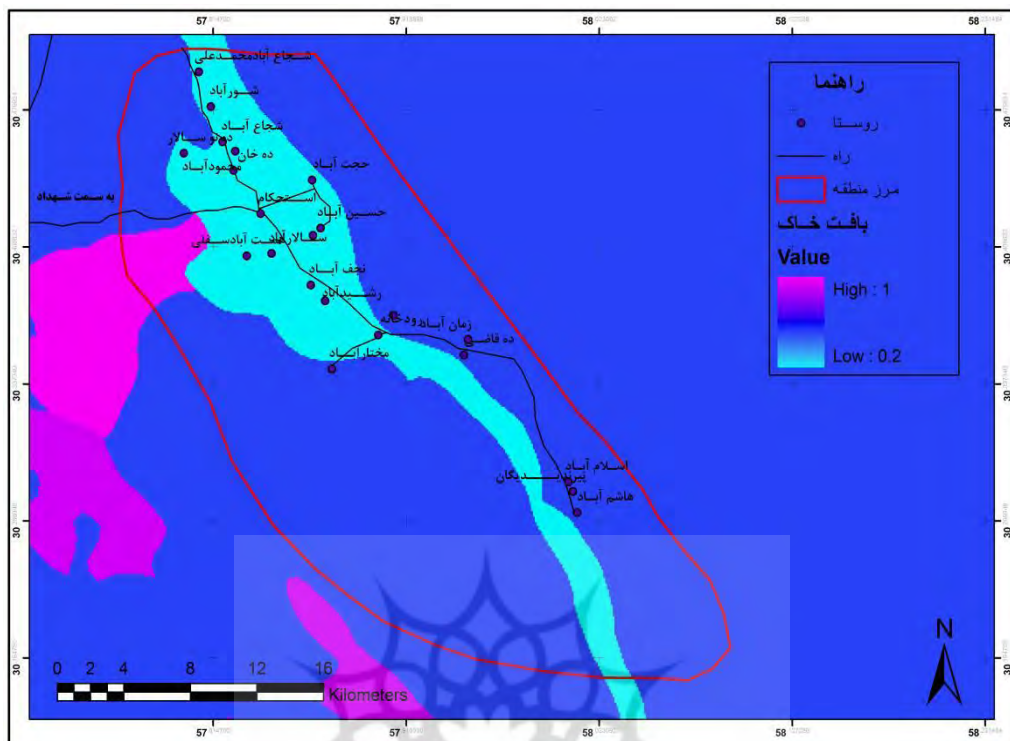
تحلیل فراوانی سرعت بادهای منطقه که از ایستگاه سینوپتیک شهداد واقع در ۱۵ کیلومتری محدوده مورد مطالعه تهیه گردیده است نشان می‌دهد که بیشترین فراوانی بادها مربوط به بادهای شمالی و شمال غربی در منطقه است و سریع‌ترین بادها در ماه‌های آوریل تا سپتامبر می‌وزند.

۳. مواد و روش‌ها

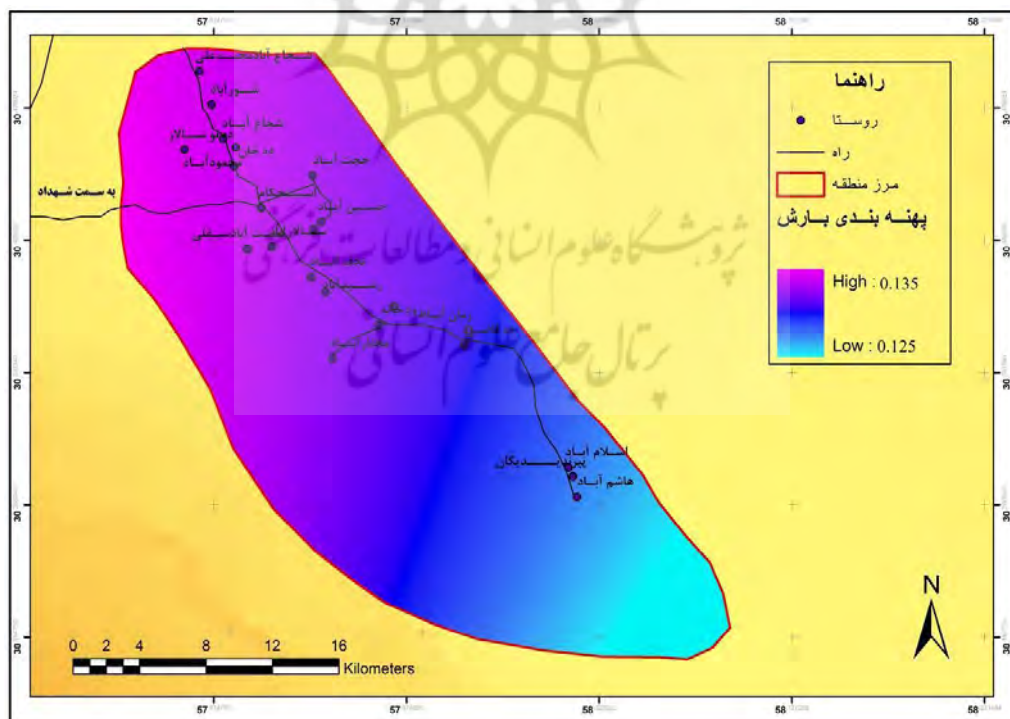
مطالعه حاضر از نوع توصیفی- تحلیلی است که به روش پیمایشی انجام گرفته است. تحقیق دارای دو قسمت اسنادی و کمی می‌باشد که در قسمت اسنادی از طریق مطالعه کتابخانه‌ای به جمع‌آوری ادبیات و پیشینه تحقیق پرداخته شد. در قسمت کمی از آمار و اطلاعات کشوری در جهت تولید نقشه‌های مربوطه استفاده شد. ابتدا محدوده مورد نظر از روی عکس‌های ماهواره‌ای مشخص شد، چگونگی انتخاب مرز منطقه مورد مطالعه بدین صورت بود که روستاهای بخش غربی دشت لوت که بیشترین آسیب‌پذیری از ماسه‌های روان داشتند را شناسایی و سپس مرز محدوده مشخص گردید. سپس بازدید میدانی از منطقه مورد مطالعه به عمل آمده و به شناسایی تپه‌های ماسه‌ای واقع در محدوده مطالعه پرداخته شد، در مرحله بعد به بررسی روستاهای واقع در محدوده و چگونگی تأثیرپذیری آن‌ها از ماسه‌های بادی پرداخته شد و مناطق آسیب‌پذیر روستا که عمدتاً باغات و زمین‌های زراعی بودند مشخص گردید سپس مهم‌ترین پارامترهای تأثیرگذار بر ماسه‌های روان در منطقه مورد مطالعه شناسایی گردید و در نرم‌افزار ArcGIS فازی شده و سپس با استفاده از مدل *Fuller triangle* سلسه مراتبی وزن دهی شده‌اند، در مرحله بعد با استفاده از مدل *Oreste* به رتبه‌بندی میزان تأثیرپذیری روستاهای با توجه به پارامترهای انتخاب شده پرداخته شد.

۱. فازی کردن نقشه‌های پایه منطقه

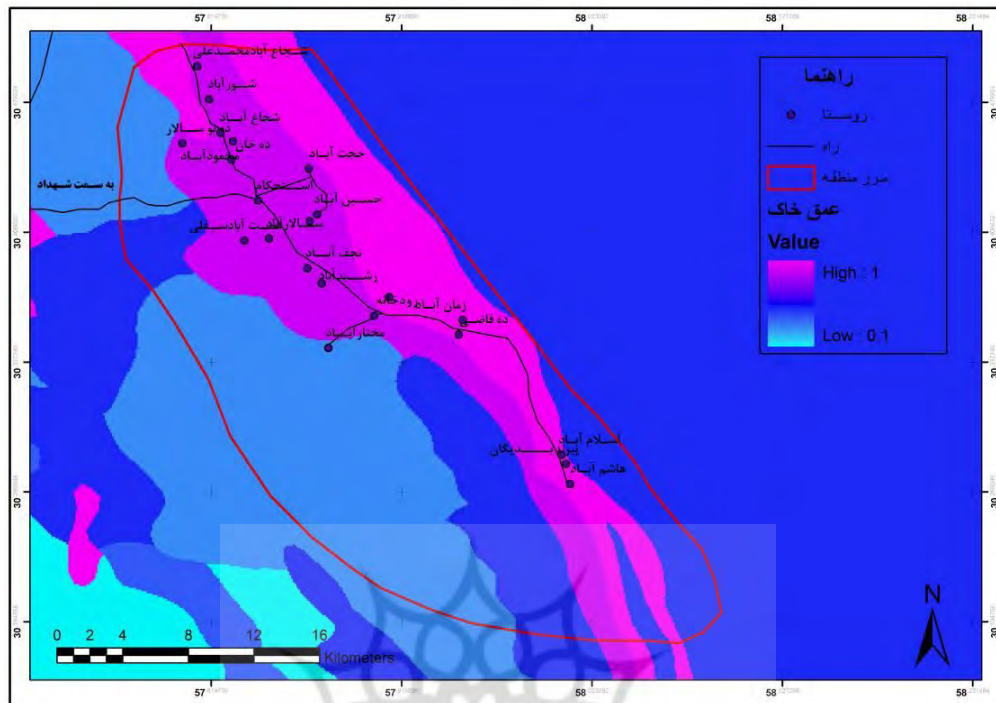
ابتدا مهم‌ترین پارامترهای مؤثر بر ماسه‌های روان در منطقه مورد مطالعه شناسایی گردید و سپس این پارامترها در منطقه پهنه‌بندی شده و با استفاده از منطق فازی، نقشه‌های فازی شده آن‌ها تهیه گردید که در زیر ارائه گردیده است.



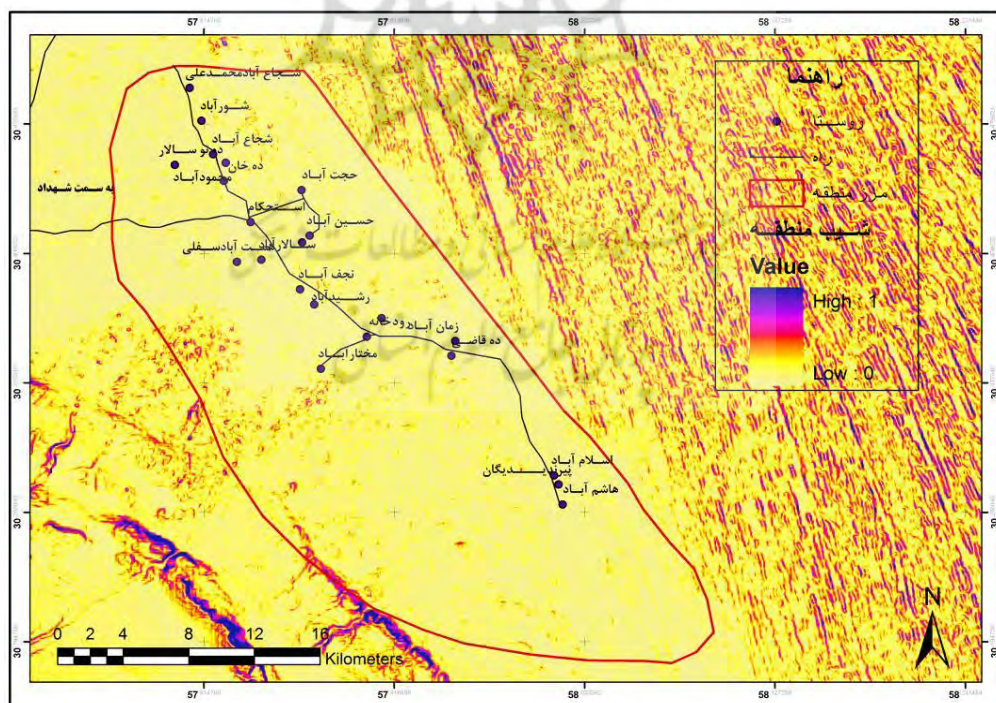
شکل ۲ نقشه فازی شده بافت خاک



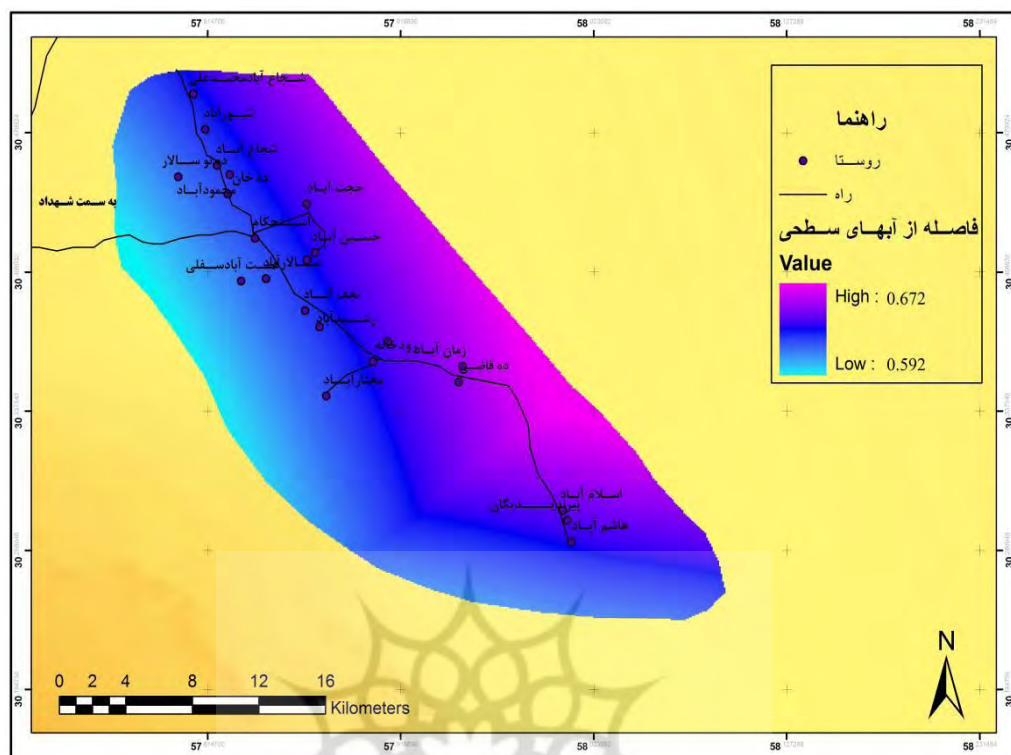
شکل ۳ نقشه فازی شده پهنه‌بندی بارش



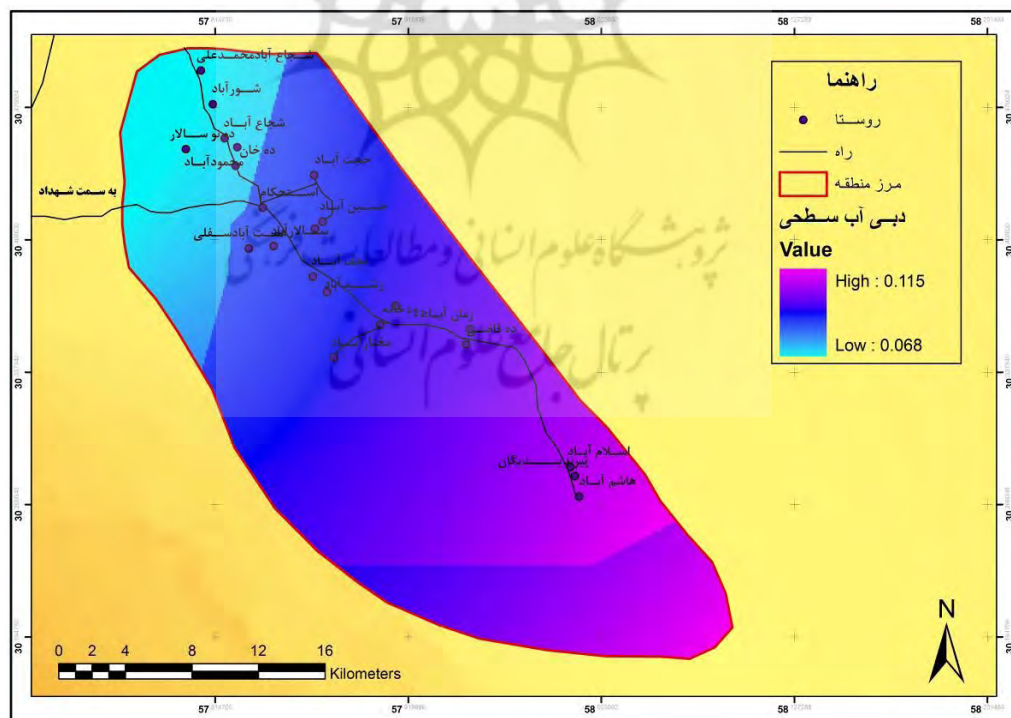
شکل ۴ نقشه فازی شده عمق خاک



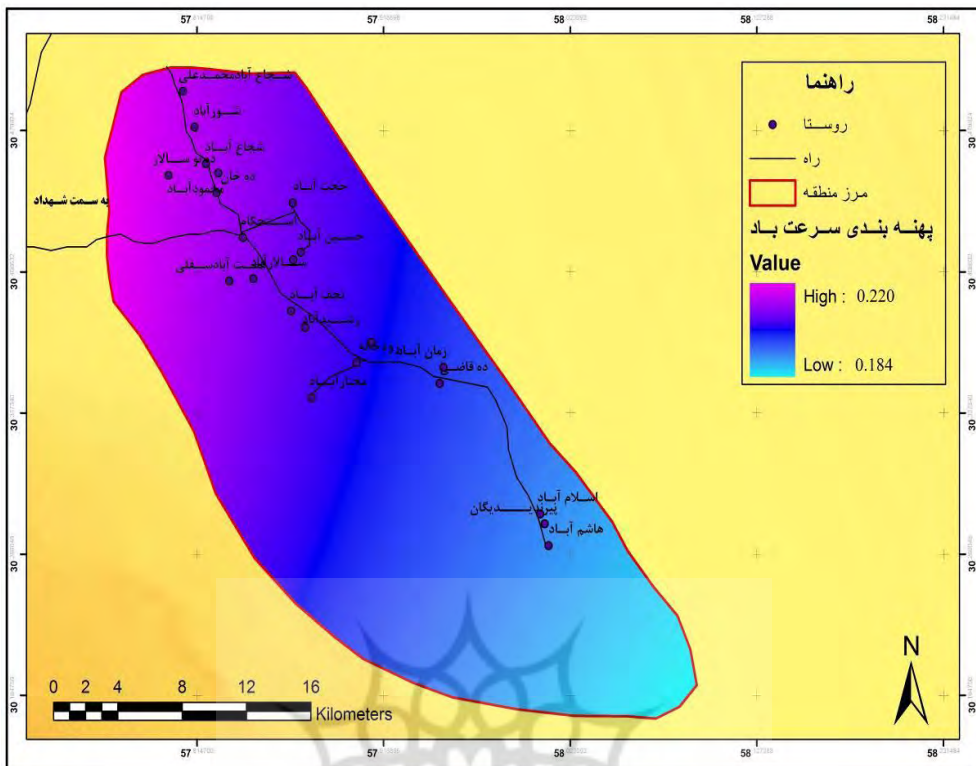
شکل ۵ نقشه فازی شده پهنه‌بندی شیب



شکل ۶ نقشه فازی شده فاصله از آب‌های سطحی



شکل ۷ نقشه فازی شده دبی آب‌های سطحی



شکل ۸ نقشه فازی شده پهنگ‌بندی سرعت باد

در مرحله بعد با توجه به وزن کمی هر یک از روستاهای فازی، و با استفاده از مدل به وزن دهی و سپس رتبه‌بندی میزان آسیب‌پذیری روستاهای پرداخته شد.

وزن دهی به معیارها با استفاده از روش Fuller Triangle سلسله مراتبی

مثلث فولر یکی از مدل‌های وزن دهی شاخص‌ها می‌باشد (پاژک^۱، ۲۰۰۸؛ باتا^۲، ۲۰۰۹؛ جابلونسکی^۳، ۲۰۱۲، کاواکا^۴، ۲۰۱۲؛ پورهینکاک^۵، ۲۰۱۲؛ رادومیر^۶، ۲۰۱۲). این روش بر جدول فولر که برای مقایسات دو به دو به کار می‌رود، استوار است. بدین ترتیب که ابتدا جدولی تهیه می‌گردد که معیارها در سطراها و ستون‌های آن قرار می‌گیرند (قدرت نما، ۱۳۷۲؛ سمیعی و رئیسی، ۱۳۷۹).

$$V_i \frac{P_i}{\sum_{i=1}^K P_i}$$

1 Paszek

2 Ba a

3 Jablonský

4 Kravka

5 Porhinvvk

6 Radomir

جدول ۳ معیارها، گزینه‌ها و وزن هر یک از معیارهای مورد بررسی

روستاهای	باد	فاصله سطحی	دبي سطحی	شیب	عمق	ارتفاع	بارش	بافت خاک
هاشمآباد	۰,۲۱۱	۰,۶۱	۰,۰۰۱	۰,۹۶	۱	۰,۹۱	۰,۱۲۹	۰,۵
پیرندیدیگان	۰,۲۱۱	۰,۶	۰,۰۰۱	۰,۹	۱	۰,۹۱	۰,۱۲۹	۰,۵
اسلامآباد	۰,۲۱۱	۰,۶	۰,۰۰۱	۰,۸۳	۱	۰,۹۱	۰,۱۲۹	۰,۵
مختارآباد	۰,۱۹۹	۰,۶۴	۰,۰۰۰۹	۰,۹۵	۰,۳	۰,۸۸	۰,۱۳۲	۰,۵
ده قاضی	۰,۲۰۵	۰,۶۱	۰,۰۰۰۹	۰,۹۶	۱	۰,۹	۰,۱۳۱	۰,۵
زمانآباد	۰,۲۰۵	۰,۶۱	۰,۰۰۰۹	۰,۹۲	۱	۰,۹	۰,۱۳۱	۰,۵
رودخانه	۰,۲۰۱	۰,۶۲	۰,۰۰۰۹	۰,۹۵	۰,۹	۰,۹	۰,۱۳۲	۰,۲
محمدآباد	۰,۱۹۹	۰,۶۲	۰,۰۰۰۹	۰,۹۲	۱	۰,۸۹	۰,۱۳۲	۰,۵
رشیدآباد	۰,۱۹۶	۰,۶۳	۰,۰۰۰۹	۰,۸۹	۰,۹	۰,۸۹	۰,۱۳۳	۰,۲
نجفآباد	۰,۱۹۶	۰,۶۳	۰,۰۰۰۹	۰,۸۲	۰,۹	۰,۸۹	۰,۱۳۳	۰,۲
همتآباد سفلی	۰,۱۹۲	۰,۶۴	۰,۰۰۰۸	۰,۹۴	۰,۹	۰,۸۸	۰,۱۳۴	۰,۲
سالارآباد	۰,۱۹۴	۰,۶۴	۰,۰۰۰۸	۰,۸۷	۰,۹	۰,۸۸	۰,۱۳۳	۰,۲
اکبرآباد بحری	۰,۱۹۷	۰,۶۳	۰,۰۰۰۸	۰,۹۸	۰,۹	۰,۹	۰,۱۳۳	۰,۲
استحکام	۰,۱۹۳	۰,۶۳	۰,۰۰۰۸	۰,۹۸	۰,۹	۰,۸۹	۰,۱۳۳	۰,۲
حجتآباد	۰,۱۹۶	۰,۶۲	۰,۰۰۰۸	۰,۹۵	۰,۹	۰,۸۹	۰,۱۳۳	۰,۲
ده خان	۰,۱۹۲	۰,۶۳	۰,۰۰۰۷	۰,۹۲	۰,۹	۰,۸۹	۰,۱۳۴	۰,۲
ده نو سالار	۰,۱۸۸	۰,۶۴	۰,۰۰۰۷	۰,۹۳	۰,۹	۰,۸۸	۰,۱۳۴	۰,۲
محمودآباد	۰,۱۹۲	۰,۶۳	۰,۰۰۰۷	۰,۹۳	۰,۹	۰,۸۹	۰,۱۳۴	۰,۲
شجاعآباد	۰,۱۹۲	۰,۶۳	۰,۰۰۰۷	۰,۹۳	۰,۹	۰,۸۹	۰,۱۳۴	۰,۲
شورآباد	۰,۱۹	۰,۶۳	۰,۰۰۰۷	۰,۹۴	۰,۹	۰,۸۹	۰,۱۳۴	۰,۲
شجاعآباد محمدعلی	۰,۱۸۹	۰,۶۳	۰,۰۰۰۷	۰,۸۹	۰,۹	۰,۸۹	۰,۱۳۴	۰,۲
وزن	۰,۲۲۲	۰,۰۵۶	۰,۰۲۸	۰,۰۸۳	۰,۱۳۹	۰,۱۱۱	۰,۱۹۴	۰,۱۶۷

۲. ۲. رویکرد تصمیم‌گیری چند شاخصه ORESTE

روش ORESTE برای انجام رتبه‌بندی سه مرحله اساسی دارد (محمد پور و اصغری زاده، ۱۳۸۷: ۲۱۹). به منظور رتبه‌بندی با کمک این روش، نخست باید دونوع ساختار رجحانی برای مجموعه شاخص‌ها و گزینه‌ها ایجاد گردد.

اگر A را یک مجموعه محدود m گزینه‌ای در نظر بگیریم؛ این گزینه‌ها توسط مجموعه C مشتمل بر k شاخص تحلیل می‌گردند. در این روش، اهمیت نسبی هر شاخص با اوزان آن‌ها مشخص نشده، بلکه با یک ساختار رجحانی بر روی مجموعه شاخص‌های C که تحت نام مرتبه ضعیف تعریف می‌شود، تعیین می‌شوند. این ساختار رجحانی به صورت رابطه کامل و انتقالی S بیان شده، که خود از مجموعه روابط I و P تشکیل شده است. P یا رجحان، میان عدم هماهنگی (عدم تقارن) و I یا بی‌تفاوتو، معرف هماهنگی (تقارن) رجحان در بین شاخص‌ها می‌باشد. برای هر یک از شاخص‌های $k = 1, \dots, j$ نیز یک ساختار رجحانی بر روی مجموعه A تعریف می‌گردد که همانند مجموعه شاخص‌های C ، این ساختار رجحانی نیز انتقالی بوده و از مجموعه روابط I و P ساخته می‌شود. بدین ترتیب ساختار رجحانی اول بر اساس اهمیت نسبی شاخص‌ها نسبت به هم به وجود می‌آیند و ساختار رجحانی دوم نیز بر روی مجموعه گزینه‌ها بر حسب تک‌تک شاخص‌ها ایجاد می‌شوند. پس از تشکیل دونوع ساختار رجحانی فوق باید به رتبه‌بندی اولیه بر اساس این ساختارها پرداخت. برای این کار از روش میانگین رتبه‌های بس‌سون^۱ استفاده می‌گردد. بدین صورت که ابتدا به ساختار رجحانی مراجعه نموده و طبق رتبه آن به تمام شاخص‌ها، اعداد ۱ تا k (شاخص) و به تمام گزینه‌ها اعداد ۱ تا m (گزینه) تخصیص می‌دهیم. سپس از بیشترین و کمترین عدد اختصاص یافته که بر مبنای ساختار رجحانی دارای ارجحیت یکسان یا I هستند، میانگین می‌گیریم، یعنی به جای اختصاص رتبه‌های ۱ و ۲ به دو شاخص (گزینه) مذکور، به هر دو رتبه $1/5$ داده می‌شود؛ بنابراین با روش میانگین رتبه‌های بس‌سون، اولویت‌ها به رتبه‌ها تبدیل می‌شوند. رتبه به دست آمده برای شاخص‌ها را r_k و رتبه به دست آمده برای هر گزینه در هر شاخص را با $(m)_k$ ^۲ نمایش می‌دهیم (ایزابل و همکاران، ۲۰۰۲).

به منظور ایجاد ساختار رجحانی برای شاخص‌ها از اوزان به دست آمده در جدول ۳ استفاده می‌شود و از طریق روش میانگین رتبه‌های بس‌سون رتبه‌بندی اولیه مجموعه شاخص‌ها و گزینه‌ها محاسبه می‌گردد. خلاصه محاسبات انجام شده مطالعه موردی در جدول زیر آورده شده است:

1 Besson

2 Isabelle et al

جدول ۴ رتبه‌بندی گزینه‌ها بر حسب هر شاخص

بافت خاک	بارش	ارتفاع	عمق	شیب	دیجی سطحی	فاصله سطحی	باد	روستاهای	
۲۰	۴	۳,۵	۲	۳,۵	۲	۱۸	۲	هاشم‌آباد	۱
۲۰	۴	۳,۵	۲	۱۶	۲	۲۰,۵	۲	پیرنامیدیگان	۲
۲۰	۴	۳,۵	۲	۲۰	۲	۲۰,۵	۲	اسلام‌آباد	۳
۱۵	۴	۲۱	۱۹,۵	۶	۷	۲,۵	۷,۵	مختار‌آباد	۴
۱۷,۵	۴	۳,۵	۶	۳,۵	۷	۱۸	۴,۵	ده قاضی	۵
۱۷,۵	۴	۳,۵	۶	۱۴	۷	۱۸	۴,۵	زمان‌آباد	۶
۱۵	۱۴,۵	۱۳,۵	۶	۶	۷	۱۵	۶	رودخانه	۷
۱۵	۴	۳,۵	۱۳	۱۴	۷	۱۵	۷,۵	محمد‌آباد	۸
۱۰,۵	۱۴,۵	۱۳,۵	۱۳	۱۷,۵	۷	۹	۱۱	رشید‌آباد	۹
۱۰,۵	۱۴,۵	۱۳,۵	۱۳	۲۱	۷	۹	۱۱	نجف‌آباد	۱۰
۴	۱۴,۵	۱۳,۵	۱۹,۵	۸,۵	۱۳	۲,۵	۱۶,۵	همت‌آباد سفلی	۱۱
۱۰,۵	۱۴,۵	۱۳,۵	۱۹,۵	۱۹	۱۳	۲,۵	۱۳	سالار‌آباد	۱۲
۱۰,۵	۱۴,۵	۱۳,۵	۶	۱,۵	۱۳	۹	۹	اکبر‌آباد بحری	۱۳
۱۰,۵	۱۴,۵	۱۳,۵	۱۳	۱,۵	۱۳	۹	۱۴	استحکام	۱۴
۱۰,۵	۱۴,۵	۱۳,۵	۶	۶	۱۳	۱۵	۱۱	حجت‌آباد	۱۵
۴	۱۴,۵	۱۳,۵	۱۳	۱۴	۱۸,۵	۹	۱۶,۵	ده خان	۱۶
۴	۱۴,۵	۱۳,۵	۱۹,۵	۱۱	۱۸,۵	۲,۵	۲۱	ده نو سالار	۱۷
۴	۱۴,۵	۱۳,۵	۱۳	۱۱	۱۸,۵	۹	۱۶,۵	محمود‌آباد	۱۸
۴	۱۴,۵	۱۳,۵	۱۳	۱۱	۱۸,۵	۹	۱۶,۵	شجاع‌آباد	۱۹
۴	۱۴,۵	۱۳,۵	۱۳	۸,۵	۱۸,۵	۹	۱۹	شور‌آباد	۲۰
۴	۱۴,۵	۱۳,۵	۱۳	۱۷,۵	۱۸,۵	۹	۲۰	شجاع‌آباد محمدعلی	۲۱

۳.۳ مرحله برآورده ۱ فواصل گزینه‌ها ($d(0, m_k)$)

برآورده کردن در روش ORESTE بر کاربرد ماتریسی فرضی با نام ماتریس موقعیت^۲ استوار است که در هر ستون آن، گزینه‌های تصمیم از بهترین به بدترین با ملاحظه هر یک از شاخص‌ها مرتب می‌شوند. همچنین ستون‌ها نیز خود بر مبنای رتبه شاخص‌ها مرتب می‌گردند. با تصویر کردن اعضای ماتریس حاصل بر قطر اصلی آن، موقعیت‌های بهتر در سمت چپ قطر اصلی و موقعیت‌های بدتر در سمت راست آن تصویر

1 Projection

2 Position-matrix

می شوند. سپس یک مبدأ صفر در متهی الیه سمت چپ قطر اصلی و تمامی تصاویر ایجاد شده در نظر گرفته و فواصل این تصاویر از مبدأ صفر که با $d(0, m_k)$ نشان داده شده تعیین می شوند به طوری که داریم:

$$\begin{aligned} & \text{if } a P_k b \text{ then } d(0, a_k) < d(0, b_k) \\ & \text{if } r_1(a) = r_2(b) \text{ and } 1 p 2 \text{ then } d(0, a_1) < d(0, b_2) \end{aligned}$$

عمل برآورد فواصل $d(0, m_k)$ که مفهوم آن در فوق بیان گردید برای حالت های مختلفی انجام می شود که عبارت اند از:

(الف) برآورد خطی مستقیم

در این حالت به منظور انجام برآورد فاصله $d(0, m_k)$ ، از r_k و $r_k(m)$ برای گزینه m در شاخص k از رابطه زیر استفاده می شود:

$$d(0, m_k) = \frac{1}{2} [r_k + r_k(m)]$$

(ب) برآورد خطی غیرمستقیم

در این حالت فواصل تصاویر از نقطه مبدأ به صورت رابطه زیر محاسبه می شوند:

$$d'(0, m_k) = \alpha r_k + (1 - \alpha) r_k(m)$$

(ب) برآورد غیرخطی

در حالت تصویر کردن غیرخطی جهت تعیین فاصله تصاویر از مبدأ مورد نظر از رابطه زیر استفاده می گردد:

$$d''(0, m_k) = \sqrt[2]{(r_k^2 + r_k(m)^2)}$$

برای دستیابی به شرایط عمومی تر، رابطه بالا به شکل زیر تغییر می یابد:

$$d''(0, m_k) = \sqrt[R]{(r_k^R + r_k(m)^R)}$$

که درنهایت اگر اوزان نرمال شده α و به آن اضافه شود، رابطه زیر حاصل می گردد:

$$d''(\cdot, m_k) = \sqrt[R]{(\alpha \cdot r_k^R + (1 - \alpha) \cdot r_k(m)^R)}$$

در این راستا با توجه به برخی از مقادیر R ، فاصله d به صورت زیر تعریف می شود.

$R = 1 \rightarrow d''$: میانگین هندسی: $R = -1 \rightarrow d''$: میانگین حسابی موزون:

$R = 2 \rightarrow d''$: میانگین مربعات: $R = -\infty \rightarrow d'': \min(r_k, r_k(m))$

$$R = +\infty \rightarrow d'': \max(r_k, r_k(m))$$

جدول ۵ برآورد فواصل برای تمام گزینه‌ها براساس تمام شاخص‌ها

ردیف	روستاها	باد	فاصله سطحی	دیسکو	شیب	عمق	ارتفاع	بارش	بافت خاک
۱	هاشم‌آباد	۱,۶۵	۶,۳۸	۱۴,۵۶	۵,۰۶	۳,۷۷	۴,۰۵	۳,۵۷	۱۵,۸۸
۲	پیرندیدیگان	۱,۶۵	۶,۳۸	۱۶,۴۸	۱۲,۹۲	۳,۷۷	۴,۰۵	۳,۵۷	۱۵,۸۸
۳	اسلام‌آباد	۱,۶۵	۶,۳۸	۱۶,۴۸	۱۶,۰۲	۳,۷۷	۴,۰۵	۳,۵۷	۱۵,۸۸
۴	مخtarآباد	۰,۹۶	۷,۵۳	۵,۶۴	۶,۰۰	۱۶,۷۱	۱۰,۰۶	۳,۵۷	۱۱,۹۱
۵	ده قاضی	۳,۵۸	۷,۵۳	۱۴,۵۶	۵,۰۶	۳,۷۷	۵,۰۵	۳,۵۷	۱۳,۹۰
۶	زمان‌آباد	۳,۵۸	۷,۵۳	۱۴,۵۶	۱۱,۴۰	۳,۷۷	۵,۰۵	۳,۵۷	۱۳,۹۰
۷	رودخانه	۴,۷۷	۷,۵۳	۱۲,۳۰	۶,۰۰	۱۰,۸۱	۵,۰۵	۱۱,۵۴	۱۱,۹۱
۸	محمد‌آباد	۰,۹۶	۷,۵۳	۱۲,۳۰	۱۱,۴۰	۳,۷۷	۱۰,۰۵	۳,۵۷	۱۱,۹۱
۹	رشید‌آباد	۸,۷۳	۷,۵۳	۸,۱۲	۱۴,۰۷	۱۰,۸۱	۱۰,۰۵	۱۱,۵۴	۸,۳۵
۱۰	نجف‌آباد	۸,۷۳	۷,۵۳	۸,۱۲	۱۰,۸۱	۱۰,۰۵	۱۱,۵۴	۸,۳۵	۸,۳۵
۱۱	همت‌آباد سفلی	۱۳,۱۰	۱۱,۰۶	۵,۶۴	۷,۴۶	۱۰,۸۱	۱۰,۰۶	۱۱,۵۴	۳,۳۰
۱۲	سالار‌آباد	۱۰,۳۲	۱۱,۰۶	۵,۶۴	۱۰,۰۶	۱۰,۰۱	۱۰,۰۵	۱۱,۵۴	۸,۳۵
۱۳	اکبر‌آباد بحری	۷,۱۵	۱۱,۰۶	۸,۱۲	۴,۷۹	۱۰,۸۱	۵,۰۵	۱۱,۵۴	۸,۳۵
۱۴	استحکام	۱۱,۱۱	۱۱,۰۶	۸,۱۲	۴,۷۹	۱۰,۰۱	۱۰,۰۵	۱۱,۵۴	۸,۳۵
۱۵	حجت‌آباد	۸,۷۳	۱۱,۰۶	۱۲,۳۰	۶,۰۰	۱۰,۰۱	۱۰,۰۱	۱۱,۵۴	۸,۳۵
۱۶	ده خان	۱۳,۱۰	۱۰,۰۷	۸,۱۲	۱۱,۴۰	۱۰,۰۱	۱۰,۰۱	۱۱,۵۴	۳,۳۰
۱۷	ده نو سالار	۱۶,۶۷	۱۰,۰۷	۵,۶۴	۹,۱۸	۱۰,۰۱	۱۰,۰۶	۱۱,۵۴	۳,۳۰
۱۸	محمود‌آباد	۱۳,۱۰	۱۰,۰۷	۸,۱۲	۹,۱۸	۱۰,۰۱	۱۰,۰۱	۱۱,۵۴	۳,۳۰
۱۹	شجاع‌آباد	۱۳,۱۰	۱۰,۰۷	۸,۱۲	۹,۱۸	۱۰,۰۱	۱۰,۰۱	۱۱,۵۴	۳,۳۰
۲۰	شور‌آباد	۱۵,۰۸	۱۰,۰۷	۸,۱۲	۷,۴۶	۱۰,۰۱	۱۰,۰۱	۱۱,۵۴	۳,۳۰
۲۱	شجاع‌آباد محمدعلی	۱۵,۸۷	۱۰,۰۷	۸,۱۲	۱۴,۰۷	۱۰,۰۱	۱۰,۰۱	۱۱,۵۴	۳,۳۰

۴. مرحله رتبه‌بندی کلی^۱ فواصل گزینه‌ها ($R(m_k)$)

با تعیین فاصله تصاویر تک‌تک اعضای ماتریس موقعیت از مبدأ از طریق یکی از حالت‌های فوق، رتبه‌بندی کلی فواصل انجام می‌شود. به‌طور کلی، انتخاب هر یک از حالت‌های فوق و یا مقادیر مختلف R برای تصویر کردن و تعیین فواصل تنها با هدف تأثیرگذاری بر موقعیت آن‌ها نسبت به هم بوده که در ادامه،

۱ Global ranking

فوائل با کمک روش میانگین رتبه‌های بس‌سون رتبه‌بندی شده و بدین ترتیب مسئله دوباره به ماهیت ترتیبی آن بازگشت داده می‌شود.

نتیجه این رتبه‌بندی برابر با اختصاص رتبه به دست آمده از روش بس‌سون به فوائل به صورت است به نحوی که به عنوان مثال داریم:

$$R(a_1) < R(a_2) \quad \text{if} \quad d(0, a_1) < d(0, a_2)$$

رتبه‌های به دست آمده، رتبه‌های کلی نامیده شده و همگی در محدوده زیر واقع می‌شوند:

$$1 < R(m_k) < m.k$$

جدول ۶ رتبه‌بندی کلی فوائل با روش میانگین رتبه‌های بس سون

ردیف	روستاها	باد	فاصله سطحی	دیجی سطحی	شیب	عمق	ارتفاع	بارش	پافت خاک
۱	هاشم‌آباد	۲	۱۶۰	۴۹	۳۲,۵	۲۷	۲۲,۵	۱۸۲	۱۴
۲	پیرندیدیگان	۲	۱۸۰,۵	۴۹	۱۵۰	۲۷	۲۲,۵	۱۸۲	۱۴
۳	اسلام‌آباد	۲	۱۸۰,۵	۴۹	۱۸۴	۲۷	۲۲,۵	۱۸۲	۱۴
۴	مخtarآباد	۴۳,۵	۴۰,۵	۶۰	۴۶	۱۷۷,۵	۱۸۸	۱۴۵	۱۴
۵	ده قاضی	۱۸,۵	۱۶۰	۶۰	۳۲,۵	۳۶	۲۲,۵	۱۵۵,۵	۱۴
۶	زمان‌آباد	۱۸,۵	۱۶۰	۶۰	۱۲۸	۳۶	۲۲,۵	۱۵۵,۵	۱۴
۷	رودخانه	۲۹	۱۴۸	۶۰	۴۶	۳۶	۱۰۸,۵	۱۴۵	۱۳۶,۵
۸	محمد‌آباد	۴۳,۵	۱۴۸	۶۰	۱۲۸	۹۷	۲۲,۵	۱۴۵	۱۴
۹	رشید‌آباد	۸۷	۷۱,۵	۶۰	۱۰۸,۵	۹۷	۸۲,۵	۱۰۸,۵	۱۳۶,۵
۱۰	نجف‌آباد	۸۷	۷۱,۵	۶۰	۱۸۹	۹۷	۱۰۸,۵	۸۲,۵	۱۳۶,۵
۱۱	همت‌آباد سفلی	۱۵۲,۰	۴۰,۵	۱۱۸	۰۰,۰	۱۷۷,۵	۱۰۸,۰	۸۲,۵	۱۳۶,۵
۱۲	سالار‌آباد	۹۲	۴۰,۵	۱۱۸	۱۷۵	۱۷۷,۵	۱۰۸,۰	۸۲,۵	۱۳۶,۵
۱۳	اکبر‌آباد بحری	۵۱	۷۱,۵	۱۱۸	۳۰,۵	۱۰۸,۰	۳۶	۸۲,۵	۱۳۶,۵
۱۴	استحکام	۱۲۱	۷۱,۵	۱۱۸	۳۰,۵	۹۷	۱۰۸,۰	۸۲,۵	۱۳۶,۵
۱۵	حجت‌آباد	۸۷	۱۴۸	۱۱۸	۴۶	۹۷	۱۰۸,۰	۸۲,۵	۱۳۶,۵
۱۶	ده خان	۱۵۲,۰	۷۱,۵	۱۲۸	۹۰	۹۷	۱۰۸,۰	۷	۱۳۶,۵
۱۷	ده نو سالار	۱۸۷	۴۰,۵	۱۶۴,۵	۹۰	۱۷۷,۵	۱۰۸,۰	۷	۱۳۶,۵
۱۸	محمود‌آباد	۱۵۲,۰	۷۱,۵	۱۶۴,۵	۹۰	۹۷	۱۰۸,۰	۷	۱۳۶,۵
۱۹	شجاع‌آباد	۱۵۲,۰	۷۱,۵	۱۶۴,۵	۹۰	۹۷	۱۰۸,۰	۷	۱۳۶,۵
۲۰	شور‌آباد	۱۶۸	۷۱,۵	۱۶۴,۵	۵۵,۰	۹۷	۱۰۸,۰	۷	۱۳۶,۵
۲۱	شجاع‌آباد محمدعلی	۱۸۰	۷۱,۵	۱۶۴,۵	۱۵۷,۰	۹۷	۱۰۸,۰	۷	۱۳۶,۵

۳.۵. مرحله تجمعی^۱

پس از محاسبه و تعیین همه رتبه‌های کلی، رتبه کلی در هر کدام از شاخص‌ها برای تمام گزینه‌ها به‌طور جداگانه جمع می‌شوند؛ یعنی برای هر گزینه‌ای مانند m ، تجمعی نهایی محاسبه می‌شود:

$$R(m) = \sum_{k=1}^k R(m_k)$$

بدین ترتیب یک ساختار ترتیبی افزایشی بر اساس و با در نظر گرفتن روابط زیر تعریف می‌شود:

$$\begin{aligned} &\text{if } R(a) < R(b) \text{ then } a P b \\ &\text{if } R(a) = R(b) \text{ then } a I b \end{aligned}$$

گزینه‌ای که مربوط به آن کوچک‌تر است، مناسب‌تر بوده و رتبه بهتری بدان اختصاص داده می‌شود؛ یعنی گزینه‌ای گزینه برتر است که جمع رتبه‌های مطلق آن در همه شاخص‌ها، از سایر گزینه‌ها کمتر باشد (روبنز^۲، ۱۹۸۲، ۵۳)؛ یعنی به‌منظور تعیین گزینه برتر، نتایج حاصل از مرحله تجمعی گزینه‌های تصمیم را مورد مقایسه قرار می‌دهیم. در این بخش هر چه حاصل جمع کمتر باشد، گزینه در رتبه بالاتری واقع می‌گردد. بنابراین رتبه‌بندی نهایی توسط رویکرد چند شاخصه برای گزینه‌های موجود به صورت زیر است:



۱ Aggregation
۲ Roubens

جدول ۷ رتبه بندی روستاهای آسیب پذیر در برابر حرکت ماسه های روان

رتبه	نتایج	روستاها
۱	۵۴۲	هاشم آباد
۲	۵۷۰,۵	ده قاضی
۳	۶۶۶	زمان آباد
۴	۶۸۵	پیرندیدیگان
۵	۷۱۹	اسلام آباد
۶	۷۲۹,۵	محمد آباد
۷	۷۵۸,۵	اکبر آباد بحری
۸	۷۸۰,۵	رودخانه
۹	۷۸۶	مختار آباد
۱۰	۸۷۲	رشید آباد
۱۱	۸۸۶,۵	حجه آباد
۱۲	۸۸۹,۵	استحقام
۱۳	۹۰۳,۵	نجف آباد
۱۴	۹۲۰	همت آباد سفلی
۱۵	۹۸۰	شور آباد
۱۶	۹۹۹	محمود آباد
۱۷	۹۹۹	شجاع آباد
۱۸	۱۰۳۷	ده خان
۱۹	۱۰۵۴,۵	سالار آباد
۲۰	۱۰۸۳	ده نو سالار
۲۱	۱۰۹۴	شجاع آباد محمد علی

۴. بحث و نتایج

سالانه حجم عظیمی از ماسه های بادی، مناطق مسکونی و روستاهای را مورد هجوم قرار می دهند. در برخی از روستاهای که در مسیر دالان های بادی قرار دارند، مقدار حجم رسوبات به گونه ای است که سبب دفن واحد های مسکونی می شود و روستائیان ناچار به ترک روستاهای خانه های خود می شوند (شکل های ۹ و ۱۰ و ۱۱). همه ساله دولت هزینه هنگفتی را برای جمع آوری ماسه های روان متتحمل می شود. از طرف دیگر برخورد ذرات ماسه با خانه ها و دیوارها باعث فرسودگی آنها در طول زمان می شود. رتبه بندی روستاهای منطقه شرق شهداد بر اساس پارامترهای مختلف و با استفاده از مدل های ذکر شده نشان داد که تعدادی از

روستاهای تأثیرپذیری بیشتری از فرآیندهای ماسه‌های روان داشته و تعدادی دیگر تأثیرپذیری کمتری را دارند. در این میان، روستاهای واقع در قسمت‌های جنوب شرقی منطقه به دلایل مختلف از جمله بادهای شدیدتر، آب‌های زیر زمینی کمتر، عمق خاک کم و ... تأثیرات بیشتری از ماسه‌های روان می‌پذیرند. روستاهای هاشم‌آباد، ده قاضی و زمان‌آباد به ترتیب در رتبه‌های اول تا سوم تأثیرپذیری قرار دارند و روستاهای واقع در شمال غربی منطقه به دلیل آب‌های سطحی بیشتر، باد کمتر و آب‌های زیر زمینی بیشتر، تأثیرپذیری کمتری از ماسه‌های روان دارند، به طورکلی، روستاهای شجاع‌آباد‌محمدعلی، ده نو سالار و سالارآباد به ترتیب کمترین میزان تأثیرپذیری را دارا هستند.



شکل ۹ تأثیرات ماسه‌های بادی بر یکی از روستاهای منطقه (روستای حجه‌آباد)



شکل ۱۰ تأثیرات ماسه‌های بادی بر یکی از روستاهای منطقه (روستای اسلام‌آباد)



شکل ۱۱ تاثیرات ماسه‌های بادی بر یکی از روستاهای منطقه (روستای استحکام)

۵. نتیجه‌گیری

حاکمیت فرسایش بادی، تجمع و حرکت ذرات ماسه در هر منطقه‌ای موجب وارد شدن خسارات بسیار زیادی به اراضی زراعی، باغات و کانال‌های آبیاری می‌شود و همواره کترول آن مورد توجه مسئولین و دست‌اندرکاران بوده است. در این پژوهش به بررسی مخاطرات ناشی از ماسه‌های روان در محدوده‌ای واقع در حاشیه غربی دشت لوت از توابع شهرداد استان کرمان پرداخته شد و مشخص گردید که این منطقه در طول سال‌های متتمدی تحت تأثیر ماسه‌های روان قرار داشته و به اراضی کشاورزی و باغات آن خسارات بسیار زیادی وارد شده است. جهت این کار از مدل‌های مختلفی از جمله منطق فازی استفاده شد که ابتدا ۸ پارامتر منتخب که بیشترین تاثیرات را بر مخاطرات ناشی از ماسه‌های روان دارند، انتخاب و در نرم‌افزار GIS فازی شده و سپس با استفاده از مدل Fuller triangle سلسله مراتبی وزن دهی شده‌اند، در مرحله بعد با استفاده از مدل Oreste به رتبه‌بندی میزان تأثیرپذیری روستاهای با توجه به پارامترهای انتخاب شده پرداخته شد. نتایج پژوهش نشان داد که روستاهای واقع در قسمت‌های جنوب شرقی منطقه از جمله هاشم‌آباد، ده‌قاضی و زمان‌آباد به دلیل پایین بودن آب‌های زیر زمینی، کاهش آب‌های سطحی، بادهای فراوان و عمق کمتر خاک تأثیرپذیری بیشتری را نسبت به ماسه‌های بادی دارند بدین صورت که تأسیسات روستایی از قبیل جاده‌ها و منازل مسکونی و حتی زمین‌های کشاورزی این روستاهای مورد هجوم ماسه‌ها روان قرار گرفته‌اند؛ اما روستاهای واقع در قسمت شمال غربی منطقه از جمله شجاع‌آباد محمدعلی، ده نو سالار و سالار‌آباد به دلیل مناسب بودن پارامترهای ذکر شده نسبت به دیگر نقاط منطقه، تأثیرپذیری کمتری دارند و درنتیجه هجوم

ماسه‌های روان به این روستاهای کمتر بوده است. به طور کلی شرایط مختلف و پارامترهای متعدد محيط طبیعی تأثیر مستقیم در مورد هجوم قرار گرفتن روستاهای منطقه توسط ماسه‌های روان را دارند.

کتابنامه

- امیدوار، کمال؛ ۱۳۸۵. بررسی و تحلیل سینوپتیکی طوفان‌های ماسه در دشت بزد ° اردکان. فصلنامه تحقیقات جغرافیایی، شماره ۸۱ صص ۴۳-۵۸.
- زمدیان، محمد جعفر؛ پور کرمانی، محسن؛ ۱۳۶۶. بحثی پیرامون ژئومورفولوژی استان سیستان و بلوچستان. فصلنامه تحقیقات جغرافیائی. شماره ۷. صص ۱۵۴-۱۶۶.
- سمیعی، علی؛ رئیسی، ابراهیم؛ ۱۳۷۹. ارزیابی چند معیاره پژوهه‌های منابع آب از دیدگاه توسعه پایدار در ایران. چهارمین کنفرانس سدسازی. صص ۱۲۵-۱۳۴.
- فلاح‌تبار، نصرالله؛ ۱۳۷۹. تأثیر برخی عوامل جغرافیائی بر شبکه راههای کشور. پژوهش‌های جغرافیائی. شماره ۳۸. صص ۴۷-۵۵.
- قدرت نما، قهرمان؛ ۱۳۷۲. ارزیابی‌های چند معیاری در طرح‌های توسعه منابع آب. آب و توسعه. شماره ۳۳-۱۱.
- مقصودی، مهران؛ ۱۳۸۵. شناخت فرآیندهای مؤثر بر توسعه و تحول عوارض ماسه‌ای (مطالعه موردی: عوارض ماسه‌ای چاله سیرجان. نشریه پژوهش‌های جغرافیایی. شماره ۵۶. صص ۱۴۹-۱۶۰).
- مقصودی، مهران؛ نگهبان، سعید؛ باقری، سجاد؛ ۱۳۹۱. تحلیل مخاطرات ناشی از ماسه‌های روان بر سکونتگاه‌های غرب دشت لوت (مطالعه موردی: روستای حجت‌آباد - شرق شهداد). جغرافیا و مخاطرات محیطی. شماره ۱. صص ۹۶-۸۳.
- نگارش، حسین؛ لطیفی، لیلا؛ ۱۳۸۸. بررسی خسارت‌های ناشی از حرکت ماسه‌های روان در شرق زابل با استفاده از تصاویر ماهواره‌ای. پژوهش‌های جغرافیای طبیعی. شماره ۷۷. صص ۷۳-۸۷.
- Bagnold R. A. (1941). The physics of blown sand and desert dune. London: Methuen & Co. Ltd. 172 - 218.
- Bařař, & Obrálová, I. (2009). Sustainable environment indicators and possibilities of their aggregation by means of Petrinets. *Recent Advances in Environment, Ecosystems and Development*, 27, 147-152.
- Brookfield, T. S., Ahlbrandt, M. E. (1983). *Eolian sediments and processes*. Amsterdam: Elsevier.
- Corrigan B. M., Van Wyk, B. E., Geldenhuys, C. J., & Durand J. F. (2008). Vegetation cover changes of the Sand Forest in the KwaNibela Peninsula, St Lucia from 1937° 2002. *South African Journal of Botany*, 74, 364 ° 379.
- Dong, Z., Jianjun, Qu., Xunming, W., Guangqiang, Q., Wanyin, L., & Zhenhai, W. (2008). Pseudo-feathery dunes in the Kumtagh Desert. *Geomorphology*, 100, 328-334.
- Haney, A., Marlin, B., Steven, A., Emily, L., & Tom, P. (2008). Gradient analysis of an eastern sand savanna's woody vegetation and its long-term responses to restored fire processes. *Forest Ecology and Management*, 256, 1560-1571.

- Jablonský, J. (2009). Software support for multiple criteria decision making problems. *Management Information Systems*, 4(2), 29-34.
- Karavas, N., Kyriacos, G., Margarita, A., & Dimitris, D. (2005). Vegetation and sand characteristics influencing nesting activity of Caretta caretta on Sekania beach. *Biological Conservation*, 121, 177-188.
- Kocurek, G. (1996). Desert aeolian systems. In H.G. Reading (Ed.), *Sedimentary environments: Processes, facies and stratigraphy* (3rd ed., pp. 125° 153). Oxford: Blackwell.
- Kravka, M. (2012). *Colloquium on Landscape Management*. Brno, Czech Republic: Mendel University.
- Lancaster, N. (1995). *Geomorphology of desert dunes*. London: Routledge.
- Li Houqiang, A. N. (1992). Turbulent theory for wind-accumulated landform formation. *Journal of Desert Research*, 12(3), 1-9.
- Ling, Y. (1990). Flow field characteristics and their relationship to the intensity of drifting sand activity in the Taklimakan Desert. *Journal Of Desert Research*. 8(2), 25-37.
- Liu Z., (1960). Movement of dune under the action of wind. *Acta Meteorologica Sinica*, 31(1), 84-91.
- Livingstone, I., Wiggs, G. F. S., & Corinne, M. (2007). Geomorphology of desert sand dunes: A review of recent progress. *Earth-Science Reviews*, 80, 239-257.
- Musick, H. B., & Gillette, S. M. (1996). Wind-tunnel modeling of the influence of vegetation structure on saltation threshold. *Earth Surface Processes and Landforms*, 21, 589° 606.
- Nicholas, P., Webb, H., McGowan, A., Stuart R. P., & Grant H. (2006). AUSLEM (Australian land erodibility model): A tool for identifying wind erosion hazard in Australia. *Geomorphology*, 78, 179-200.
- Nickling, W. G. (1986). *Aeolian geomorphology*. London: Allen and Unwin.
- Paszek L., Gurecký, J., & Mold_Ík, P. (2008). Determination of criteria weights in terms of computer software. *Advances in Electrical and Electronic Engineering*, 12(2), 154-157.
- Perzina, R., & Ramik., J. (2012). Dame - microsoft excel add-in for solving multi-criteria decision problems with scenarios. *Proceedings of 30th International Conference Mathematical Methods in Economics*, 697-702.
- Porhink, M., & Evtokovv, Av(2012).Process of selection of building materials towards sustainable development. *Chemical Engineering Transactions*, 29, 547-552.
- Pye, K., & Tsoar, H. (1990). *Aeolian sand and sand dunes*. London: Unwin Hyman
- Squires, V. R. (2002). Dust and sand storms: An early warning of impending disaster. In Y. Youlin, & V. R. Squires (Eds.), *Global Alarm: Dust and sand storms from the world's dry lands* (pp. 15-28). Thailand: The United Nations Convention to Combat Desertification.
- Tsoar, H., & Møller, J. T. (1986). The role of vegetation in the formation of linear sand dunes. In W. G. Nickling (Ed.), *Aeolian Geomorphology* (pp. 75° 95). Boston: Allen and Unwin.
- Wiggs, G. F. S., Livingstone, I., Thomas, D. S. G., & Bullard, J. E. (1996). Air flow and roughness characteristics over partially vegetated linear dunes in the southwest Kalahari Desert. *Earth Surface Processes and Landforms*, 21, 19° 34.

- Wiggs, G. F. S., Thomas, D. S. G., Bullard, J. E., & Livingstone, I. (1995). Dune mobility and vegetation cover in the southwest Kalahari Desert. *Earth Surface Processes and Landforms*, 20, 515° 530.
- Wolfe, S. A., & Nickling, W. G. (1993). The protective role of sparse vegetation in wind erosion. *Progress in Physical Geography*, 17, 50-68.
- Youlin, Y. (2002). Black windstorm in northwest China: A case study of the stormy sand dust storms on May 5th 1993. In Y. Youlin, & V. R. Squires (Eds.), *Global Alarm: Dust and sand storms from the world's dry lands* (pp.). Thailand: The United Nations Convention to Combat Desertification.
- Zhu, Z., Wu, Z., & Liu, S. (1980). *Desert in China*. Beijing: Science press.

